

УДК 534-21

Шульга Н.Д., канд. техн. наук

ЧАСТОТИ ПРОПУСКАННЯ І ГРАНИЧНІ ФОРМИ ОБ'ЄМНИХ ХВИЛЬ ПОПЕРЕК СТРУКТУРИ ДВОКОМПОНЕНТНИХ ШАРУВАТИХ КОМПОЗИТІВ З МІЖФАЗНИМИ НЕДОСКОНАЛОСТЯМИ

Перебіг хвильових процесів в композитних матеріалах визначається механічними властивостями компонент, геометричною структурою матеріалу та якістю міжфазних поверхонь [3]. Адекватний теоретичний опис останнього фактору пов'язаний з суттєвими складностями. Для моделювання тонкого шару з міжфазними недосконаlostями та дефектами, який розділяє дві фази (компоненти) шаруватого композиту з різними фізико-механічними властивостями, вводиться [1, 2, 6] гіпотетична міжфазна поверхня з певними властивостями. Кількісним виразником цих властивостей виступають міжфазні сталі, що входять в механічні умови спряження.

Розглянемо двокомпонентний регулярно-шаруватий композит з міжфазними недосконаlostями та дефектами, механічні властивості ортотропних компонент якого позначимо через $c_{ij,1}$, ρ_1 для шарів товщиною h_1 і $c_{ij,2}$, ρ_2 для шарів товщиною h_2 . Координатні вісі x_1 , x_2 , x_3 направимо вздовж головних напрямів ортотропії шарів. При поширенні хвиль впоперек структури шарів (вздовж x_3) переміщення, деформації і напруження не залежать від координат x_1 і x_2 і тривимірні рівняння малих коливань пружного тіла розпадаються на три незалежні системи

$$\rho(x_3) \frac{\partial^2 u_{6-m}}{\partial t^2} = \frac{\partial \sigma_{3,6-m}}{\partial x_3}, \quad \sigma_{3,6-m} = c_{mm}(x_3) \frac{\partial u_{6-m}}{\partial x_3}, \quad m = 3, 4, 5. \quad (1)$$

Рівняння (1) справедливі поза площинами $x_3 = x_{3,2n-2+q}$ ($q=1,2$, n – ціле число) розриву властивостей матеріалу, а на самих цих площинах повинні виконуватися [1, 2, 6] контактні умови

$$\begin{aligned} \sigma_{3,6-m}(x_{3,2n-2+q} + 0, t) &= \sigma_{3,6-m}(x_{3,2n-2+q} - 0, t), \\ u_{6-m}(x_{3,2n-2+q} + 0, t) &= u_{6-m}(x_{3,2n-2+q} - 0, t) + \eta_{3,6-m} \sigma_{3,6-m}(x_{3,2n-2+q} - 0, t). \end{aligned} \quad (2)$$

Розв'язок рівнянь (1) для кожного з шарів при гармонічних коливаннях запишемо так

$$u_{6-m} = h \operatorname{Re} \left[A_{2n-1}^{(1)} \frac{\sin k_{mm,1}(x_3 - nh + h)}{\bar{c}_{mm,1} \bar{k}_{mm,1}} + A_{2n-1}^{(2)} \cos k_{mm,1}(x_3 - nh + h) \right] e^{-i\omega t},$$

$$(n-1)h < x_3 < (n-1)h + h_1;$$

$$u_{6-m} = h \operatorname{Re} \left[A_{2n}^{(1)} \frac{\sin k_{mm,2}(x_3 - nh + h_2)}{\bar{c}_{mm,2} \bar{k}_{mm,2}} + A_{2n}^{(2)} \cos k_{mm,2}(x_3 - nh + h_2) \right] e^{-i\omega t},$$

$$(n-1)h + h_1 < x_3 < nh. \quad (3)$$

В формулах (3) і далі використовуються позначення $\bar{\rho}_q \rho_{00} = \rho_q$, $\bar{c}_{mm,q} c_{00} = c_{mm,q}$, $\bar{k}_{mm,q} = h_{00} k_{mm,q}$, $k_{mm,q} = \omega \sqrt{\rho_q / c_{mm,q}}$, $\bar{\eta}_{3,6-m} = \eta_{3,6-m} \frac{c_{00}}{h}$, причому величини $\bar{\rho}_q$, $\bar{c}_{mm,q}$, $\bar{k}_{mm,q}$, $\bar{\eta}_{3,6-m}$ як і сталі інтегрування $A_n^{(i)}$, безрозмірні; нормуючі параметри ρ_{00} , c_{00} , h мають розмірності відповідно густини ($\text{кг} \cdot \text{м}^{-3}$), модуля пружності (Па), довжини (м).

Контактні умови (3) на межах $x_3 = x_{3,2n-1} \equiv (n-1)h + h$ між $(2n-1)$ -им і $2n$ -им шарами і на межах $x_3 = x_{3,2n} \equiv nh$ між $2n$ -им і $(2n+1)$ -им шарами приводять до однорідних алгебраїчних рівнянь

$$\mathbf{A}_{2n+1} = \mathbf{M}_{mm}(h_2) \mathbf{A}_{2n}, \quad \mathbf{A}_{2n} = \mathbf{M}_{mm}(h_1) \mathbf{A}_{2n-1}, \quad (4)$$

в яких введені вектор-стовпці $\mathbf{A}_n = \operatorname{col}[A_n^{(1)}, A_n^{(2)}]$ і матриця $\mathbf{M}_{mm}^{(ik)}(h_q)$:

$$\mathbf{M}_{mm}^{(ik)}(h_q) = \begin{bmatrix} \mathbf{M}_{mm}^{(11)}(h_q) & \mathbf{M}_{mm}^{(12)}(h_q) \\ \mathbf{M}_{mm}^{(21)}(h_q) & \mathbf{M}_{mm}^{(22)}(h_q) \end{bmatrix},$$

$$\text{де } \mathbf{M}_{mm}^{(11)}(h_q) = \cos k_{mm,q} h_q, \quad \mathbf{M}_{mm}^{(12)}(h_q) = -\bar{c}_{mm,q} \bar{k}_{mm,q} \sin k_{mm,q} h_q$$

$$\mathbf{M}_{mm}^{(21)}(h_q) = \frac{\sin k_{mm,q} h_q}{\bar{c}_{mm,q} \bar{k}_{mm,q}} + \bar{\eta}_{3,6-m} \cos k_{mm,q} h_q,$$

$$\mathbf{M}_{mm}^{(22)}(h_q) = \cos k_{mm,q} h_q - \bar{\eta}_{3,6-m} \bar{c}_{mm,q} \bar{k}_{mm,q} \sin k_{mm,q} h_q.$$

Якщо розв'язок нескінченної системи однорідних алгебраїчних рівнянь (4) представити [2, 4-6] у вигляді

$$\mathbf{A}_{2n} = \chi_{mm}^n \mathbf{M}_{mm}(h_1) \mathbf{X}_{mm}, \quad \mathbf{A}_{2n-1} = \chi_{mm}^n \mathbf{X}_{mm}, \quad (5)$$

то для визначення скаляру χ_{mm} і вектора \mathbf{X}_{mm} одержимо систему однорідних алгебраїчних рівнянь

$$\left(\mathbf{M}_{mm}(h_2, h_1) - \chi_{mm}^{-1} \mathbf{I}_2 \right) \mathbf{X}_{mm} = 0. \quad (6)$$

Тут \mathbf{I}_2 – одинична матриця другого порядку, $\mathbf{M}_{mm}(h_2, h_1) = \mathbf{M}_{mm}(h_2) \mathbf{M}_{mm}(h_1)$ – передаточна матриця для двох шарів товщини h_1 і h_2 .

З умови існування нетривіального розв'язку однорідної системи (6) одержимо характеристичне рівняння

$$\chi_{mm}^2 - 2b_{mm}(\bar{k}_{mm,2}, \bar{k}_{mm,1}) \chi_{mm} + 1 = 0, \quad (7)$$

оскільки безпосередніми перетвореннями знаходимо, що $\det \mathbf{M}_{mm}(h_2, h_1) = 1$, а коефіцієнт

$$\begin{aligned} b_{mm}(\bar{k}_{mm,2}, \bar{k}_{mm,1}) = & \cos k_{mm,1} h_1 \cos k_{mm,2} h_2 - \frac{1}{2} \left(\frac{\bar{c}_{mm,1} \bar{k}_{mm,1}}{\bar{c}_{mm,2} \bar{k}_{mm,2}} + \frac{\bar{c}_{mm,2} \bar{k}_{mm,2}}{\bar{c}_{mm,1} \bar{k}_{mm,1}} - \right. \\ & \left. - \bar{\eta}_{3,6-m}^2 \bar{c}_{mm,1} \bar{c}_{mm,2} \bar{k}_{mm,1} \bar{k}_{mm,2} \right) \sin k_{mm,1} h_1 \sin k_{mm,2} h_2 - \\ & - \bar{\eta}_{3,6-m} \left(\bar{c}_{mm,1} \bar{k}_{mm,1} \sin k_{mm,1} h_1 \cos k_{mm,2} h_2 + \right. \\ & \left. + \bar{c}_{mm,2} \bar{k}_{mm,2} \sin k_{mm,2} h_2 \cos k_{mm,1} h_1 \right). \end{aligned} \quad (8)$$

Кожному з нерівних між собою характеристичних чисел $\chi_{mm,1}$, $\chi_{mm,2}$ відповідають лінійно незалежні між собою власні вектори $\mathbf{X}_{mm,1}$, $\mathbf{X}_{mm,2}$ і невідомі \mathbf{A}_n в розв'язку (5) будуть суперпозицією

$$\begin{aligned} \mathbf{A}_{2n} &= Q_1 \chi_{mm,1}^n \mathbf{M}_{mm}(h_1) \mathbf{X}_{mm,1} + Q_2 \chi_{mm,2}^n \mathbf{M}_{mm}(h_1) \mathbf{X}_{mm,2}, \\ \mathbf{A}_{2n-1} &= Q_1 \chi_{mm,1}^n \mathbf{X}_{mm,1} + Q_2 \chi_{mm,2}^n \mathbf{X}_{mm,2}. \end{aligned} \quad (9)$$

Невідомі сталі Q_1 , Q_2 повинні бути визначені з граничних умов.

Для аналізу поширення об'ємних хвиль в характеристичному рівнянні (7) зробимо заміну $\chi_{mm} = \exp(\pm ihs_{mm})$ і запишемо його в тригонометричному вигляді

$$\cos hs_{mm} = b_{mm}(\bar{k}_{mm,2}, \bar{k}_{mm,1}). \quad (10)$$

З представлення (9) випливає, що розв'язок (3) буде обмеженим при $n \rightarrow \pm\infty$ ($-\infty < x_3 < +\infty$), якщо дисперсійне рівняння (10) матиме дійсні корені. Це матиме місце при умові

$$-1 < b_{mm}(\bar{k}_{mm,2}, \bar{k}_{mm,1}) < +1, \quad (11)$$

яка і визначає зони пропускання хвиль поперек структури матеріалу.

Фізично обґрунтований однозначний розв'язок рівняння (10) при умові (11) визначається за правилом відбору мод [5]

$$hs_{mm} = (-1)^{N_{mm}^{i-1}} \arccos b_{mm}(\bar{k}_{mm,2}, \bar{k}_{mm,1}) + 2\pi \left[\frac{N_{mm}}{2} \right]. \quad (12)$$

Тут $\arccos b_{mm}(\bar{k}_{mm,2}, \bar{k}_{mm,1})$ – головне значення оберненої тригонометричної функції, $N_{mm} = 1, 2, \dots$ – порядковий номер зони пропускання об'ємних хвиль (11), $\left[\frac{N_{mm}}{2} \right]$ – ціла частина числа.

На межах зон пропускання об'ємних хвиль (11) частота задовольняє одному з рівнянь

$$b_{mm}(\bar{k}_{mm,2}, \bar{k}_{mm,1}) = +1, \quad b_{mm}(\bar{k}_{mm,2}, \bar{k}_{mm,1}) = -1. \quad (13)$$

В першому випадку $b_{mm}(\bar{k}_{mm,2}, \bar{k}_{mm,1}) = +1$ мультиплікатор $\chi_{mm} = +1$, а в другому випадку $b_{mm}(\bar{k}_{mm,2}, \bar{k}_{mm,1}) = -1$ мультиплікатор $\chi_{mm} = -1$. Тоді з формул (5) випливає, що в першому випадку між сталими інтегрування мають місце залежності

$$A_{2n-1}^{(i)} = A_1^{(i)}, \quad A_{2n}^{(i)} = A_2^{(i)}, \quad (14)$$

тобто період розв'язку дорівнює періоду структури h , а в другому випадку між сталими інтегрування мають місце залежності

$$A_{2n-1}^{(i)} = (-1)^n A_1^{(i)}, \quad A_{2n}^{(i)} = (-1)^n A_2^{(i)}, \quad (15)$$

тобто період розв'язку дорівнює двом періодам структури $2h$.

Повніший аналіз частотних рівнянь на межах зон пропускання хвиль (13) одержимо, виходячи з наступних симетричних і антисиметричних розв'язків відносно серединних площин шарів товщиною $h_1 = 2H_1$ і $h_2 = 2H_2$

$$u_{6-m}(x_3) = \tilde{A}_{2n-1}^{(1)} \frac{\sin k_{mm,1}(x_3 - nh + h - H_1)}{\bar{c}_{mm,1} \bar{k}_{mm,1}} + \tilde{A}_{2n-1}^{(2)} \cos k_{mm,2}(x_3 - nh + h - H_1),$$

$$nh - h < x_3 < nh - h + h_1;$$

$$u_{6-m}(x_3) = \tilde{A}_{2n}^{(1)} \frac{\sin k_{mm,2}(x_3 - nh + H_2)}{\bar{c}_{mm,2} \bar{k}_{mm,2}} + \tilde{A}_{2n}^{(2)} \cos k_{mm,2}(x_3 - nh + H_2),$$

$$nh - h + h_1 < x_3 < nh. \quad (16)$$

Користуючись умовами спряження (2) і залежностями (14), (15) між сталими інтегрування прийдемо до наступного.

На межах зон пропускання $b_{mm}(\bar{k}_{mm,2}, \bar{k}_{mm,1}) = +1$ відбуваються симетричні-симетричні відносно серединних площин шарів коливання (SS-коливання)

$$u_{6-m}(x_3) = \tilde{A}_1^{(2)} \cos k_{mm,1}(x_3 - nh + h - H_1), \quad nh - h < x_3 < nh - h + h_1;$$

$$u_{6-m}(x_3) = \tilde{A}_2^{(2)} \cos k_{mm,2}(x_3 - nh + H_2), \quad nh - h + h_1 < x_3 < nh \quad (17)$$

і антисиметричні-антисиметричні відносно серединних площин шарів коливання (AA-коливання)

$$u_{6-m}(x_3) = \tilde{A}_1^{(1)} \frac{\sin k_{mm,1}(x_3 - nh + h - H_1)}{\bar{c}_{mm,1} \bar{k}_{mm,1}}, \quad nh - h < x_3 < nh - h + h_1;$$

$$u_{6-m}(x_3) = \tilde{A}_2^{(1)} \frac{\sin k_{mm,2}(x_3 - nh + H_2)}{\bar{c}_{mm,2} \bar{k}_{mm,2}}, \quad nh - h + h_1 < x_3 < nh. \quad (18)$$

З умов спряження (2) між шарами товщиною $h_1 = 2H_1$ та $h_2 = 2H_2$ одержуємо алгебраїчні рівняння

$$\tilde{A}_1^{(2)} \bar{c}_{mm,1} \bar{k}_{mm,1} \sin \bar{k}_{mm,1} H_1 + \tilde{A}_2^{(2)} \bar{c}_{mm,2} \bar{k}_{mm,2} \sin \bar{k}_{mm,2} H_2 = 0,$$

$$\tilde{A}_1^{(2)} \left(\cos \bar{k}_{mm,1} H_1 - \frac{1}{2} \bar{\eta}_{3,6-m} \bar{c}_{mm,1} \bar{k}_{mm,1} \sin \bar{k}_{mm,1} H_1 \right) -$$

$$- \tilde{A}_2^{(2)} \left(\cos \bar{k}_{mm,2} H_2 - \frac{1}{2} \bar{\eta}_{3,6-m} \bar{c}_{mm,2} \bar{k}_{mm,2} \sin \bar{k}_{mm,2} H_2 \right) = 0 \quad (19)$$

для SS-коливань (17) і алгебраїчні рівняння

$$\tilde{A}_1^{(1)} \cos k_{mm,1} H_1 - \tilde{A}_2^{(1)} \cos k_{mm,2} H_2 = 0$$

$$\begin{aligned} & \tilde{A}_1^{(1)} \left(\frac{\sin \bar{k}_{mm,1} H_1}{\bar{c}_{mm,1} \bar{k}_{mm,1}} + \frac{1}{2} \bar{\eta}_{3,6-m} \cos \bar{k}_{mm,1} H_1 \right) + \\ & + \tilde{A}_2^{(1)} \left(\frac{\sin \bar{k}_{mm,2} H_2}{\bar{c}_{mm,2} \bar{k}_{mm,2}} + \frac{1}{2} \bar{\eta}_{3,6-m} \cos \bar{k}_{mm,2} H_2 \right) = 0 \end{aligned} \quad (20)$$

для AA-коливаний (18).

З умов існування ненульових розв'язків однорідних систем (19) і (20) випливають частотні рівняння і відношення між сталими інтегрування.

На межах зон пропускання $b_{mm}(\bar{k}_{mm,2}, \bar{k}_{mm,1}) = -1$ відбуваються симетричні-антисиметричні відносно серединних площин шарів коливання (SA-коливання)

$$\begin{aligned} u_{6-m}(x_3) &= \tilde{A}_1^{(2)} \cos k_{mm,1}(x_3 - nh + h - H_1), & nh - h < x_3 < nh - h + h_1; \\ u_{6-m}(x_3) &= \tilde{A}_2^{(1)} \frac{\sin k_{mm,2}(x_3 - nh + H_2)}{\bar{c}_{mm,2} \bar{k}_{mm,2}}, & nh - h + h_1 < x_3 < nh \end{aligned} \quad (21)$$

і антисиметричні-симетричні відносно серединних площин шарів коливання (AS-коливання)

$$\begin{aligned} u_{6-m}(x_3) &= \tilde{A}_1^{(1)} \frac{\sin k_{mm,1}(x_3 - nh + h - H_1)}{\bar{c}_{mm,1} \bar{k}_{mm,1}}, & nh - h < x_3 < nh - h + h_1; \\ u_{6-m}(x_3) &= \tilde{A}_2^{(2)} \cos k_{mm,2}(x_3 - nh + H_2), & nh - h + h_1 < x_3 < nh. \end{aligned} \quad (22)$$

З умов спряження (2) між шарами товщиною $h_1 = 2H_1$ та $h_2 = 2H_2$ одержуємо алгебраїчні рівняння

$$\begin{aligned} & \tilde{A}_1^{(2)} \bar{c}_{mm,1} \bar{k}_{mm,1} \sin \bar{k}_{mm,1} H_1 + \tilde{A}_2^{(1)} \cos \bar{k}_{mm,2} H_2 = 0, \\ & \tilde{A}_1^{(2)} \left(\cos \bar{k}_{mm,1} H_1 - \frac{1}{2} \bar{\eta}_{3,6-m} \bar{c}_{mm,1} \bar{k}_{mm,1} \sin \bar{k}_{mm,1} H_1 \right) + \\ & + \tilde{A}_2^{(1)} \left(\frac{\sin \bar{k}_{mm,2} H_2}{\bar{c}_{mm,2} \bar{k}_{mm,2}} + \frac{1}{2} \bar{\eta}_{3,6-m} \cos \bar{k}_{mm,2} H_2 \right) = 0 \end{aligned} \quad (23)$$

для SA-коливаний і алгебраїчні рівняння

$$\tilde{A}_1^{(1)} \cos k_{mm,1} H_1 - \tilde{A}_2^{(2)} \bar{c}_{mm,2} \bar{k}_{mm,2} \sin \bar{k}_{mm,2} H_2 = 0$$

$$\begin{aligned} & \tilde{A}_1^{(1)} \left(\frac{\sin \bar{k}_{mm,1} H_1}{\bar{c}_{mm,1} \bar{k}_{mm,1}} + \frac{1}{2} \bar{\eta}_{3,6-m} \cos \bar{k}_{mm,1} H_1 \right) - \\ & - \tilde{A}_2^{(2)} \left(\cos \bar{k}_{mm,2} H_2 - \frac{1}{2} \bar{\eta}_{3,6-m} \bar{c}_{mm,2} \bar{k}_{mm,2} \sin \bar{k}_{mm,2} H_2 \right) = 0. \end{aligned} \quad (24)$$

для AS-коливань.

З умов існування ненульових розв'язків однорідних систем (23) і (24) одержимо частотні рівняння і відношення між сталими інтегрування.

Одержані результати дозволяють визначити граничні значення частот, що обмежують зони пропускання хвиль впоперек структури матеріалу, і побудувати форми хвиль, які відповідають цим частотам. При чисельному аналізі розглядався композит з механічними властивостями шарів $\bar{\rho}_1 = 1$, $\bar{c}_{33,1} = 13/3$, $\bar{c}_{44,1} = \bar{c}_{55,1} = 1$, $\bar{\rho}_2 = 2$, $\bar{c}_{33,2} = 70$, $\bar{c}_{44,2} = \bar{c}_{55,2} = 20$ при нормуючих параметрах $\rho_{00} = \rho_1$, $c_{00} = c_{44,1}$. Товщини шарів приймалися рівними $h_1 = 0,3h$ і $h_2 = 0,7h$.

На рис. 1 показані дисперсійні залежності для поперечних (рис. 1,а) і поздовжніх (рис. 1,б) хвиль, де по вісях відкладені величини $\bar{\omega} = \omega h \sqrt{\rho_{00}/c_{00}}$, $\bar{s} = sh$. Значення міжфазних параметрів $\bar{\eta}_{33} = \bar{\eta}_{32} = \bar{\eta}_{31} = 0,0$ (міжфазні недосконалості відсутні), 0,1, 0,5, 1,0, 5,0, 10,0 вказані біля кривих на рис. 1.

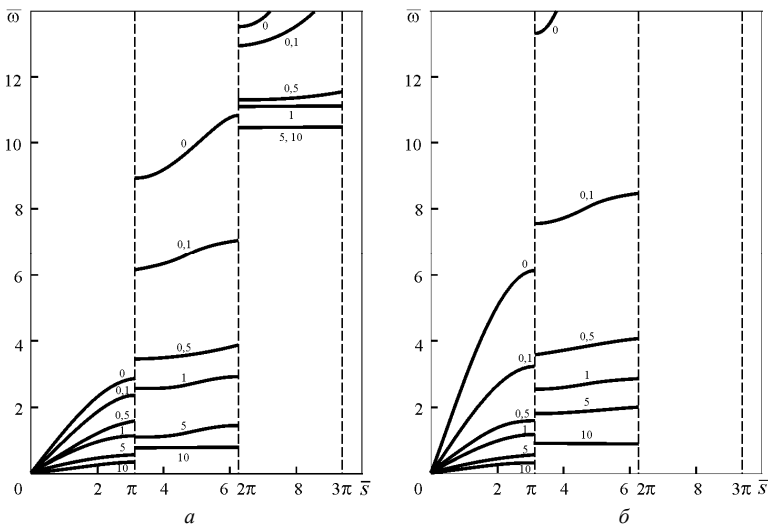


Рис. 1

З наведених графіків випливає, що при збільшенні фазових параметрів зони пропускання хвиль звужуються і вироджуються в дискретний спектр власних частот товщинних коливань шарів товщини h_1 і h_2 . Зони пропускання хвиль при великих значеннях міжфазних параметрів простіше визначати з частотних рівнянь для граничних форм коливань.

На рис. 2 наведені результати розрахунку форм поперечних (рис. 2, а) та поздовжніх (рис. 2, б) хвиль на граничних частотах зон пропускання на двох періодах структури. Фізико-механічні і геометричні параметри такі ж, як і для рис. 1, міжфазні сталі $\bar{\eta}_{33} = \bar{\eta}_{32} = \bar{\eta}_{31} = 0,5$. На рис. 2, а показані форми поперечних хвиль, причому крива 2 відповідає верхній границі першої зони пропускання ($\omega_2 = 1,4731$, AS-коливання), крива 3 – нижній границі другої зони пропускання ($\omega_3 = 3,42205$, SA-коливання), крива 4 – верхній границі другої зони пропускання ($\omega_4 = 3,81221$, SS-коливання), крива 5 – нижній границі третьої зони пропускання ($\omega_5 = 11,524375$, AA-коливання), крива 6 – верхній границі третьої зони пропускання ($\omega_6 = 11,61749$, AS-коливання).

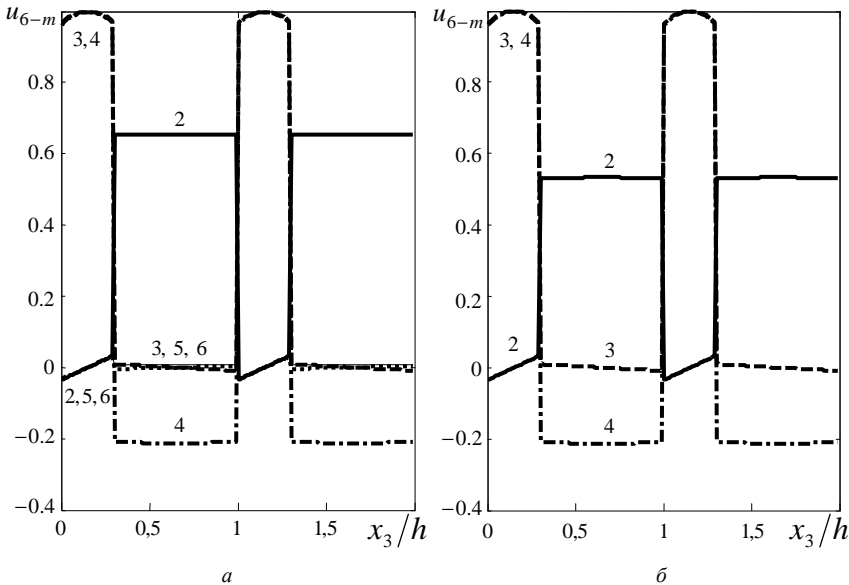


Рис. 2

На рис. 2, б показані форми поздовжніх хвиль, причому крива 2 відповідає верхній границі першої зони пропускання ($\omega_2 = 1,6319$, AS-коливання), крива 3 – нижній границі другої зони пропускання ($\omega_3 = 3,5921$, SA-коливання), крива 4 – верхній границі другої зони пропускання ($\omega_4 = 3,97136$, SS-коливання). При побудові форм приймалося, що максимальна амплітуда коливань в першій зоні пропускання рівна одиниці. Зауважимо, що на нижній границі першої зони пропускання частота $\bar{\omega} = 0$, що відповідає поступальному руху жорсткого тіла, зміщення прийнято рівним нулеві і на рис. 2 не показані.

Різка зміна характеру форм на міжфазних прошарках (розриви першого роду на міжфазних площинах в прийнятій феноменологічній моделі) залежить від величини міжфазного параметру $\bar{\eta}_{3,6-m}$ і зникає при $\bar{\eta}_{33} = \bar{\eta}_{32} = \bar{\eta}_{31} = 0,0$ (міжфазні недосконалості відсутні). Неперервні ділянки форм мають пологий характер в зв'язку з великим періодом відповідних тригонометричних функцій.

1. *Баженов В.А., Шульга Н.Д.* Скорости распространения длинных волн в слоистых композитах с тонкими прослойками // Сопrotивление материалов и теория сооружений. – 1989. – Вып. 55. – С. 6-10.
2. *Баженов В.А., Шульга Н.Д.* Распространение волн поперек структуры слоистого материала с межфазными прослойками // Сопrotивление материалов и теория сооружений. – 1990. – Вып. 56. – С. 3-7.
3. *Композиционные материалы.* В 8-и т. Т.1. поверхности раздела в металлических композитах. – Москва: Мир, 1978. – 438 с. Т.6. Поверхности раздела в полимерных композитах. – Москва: Мир, 1978. – 294 с.
4. *Механика композитов.* В 12 т. Т.2. Динамика и устойчивость материалов. – Киев: Наукова думка, 1993. – 431 с. Т.6. Технологические напряжения и деформации в материалах. – Киев: ПТОО «А.С.К.», 1997. – 394 с.
5. *Шульга Н.А.* Основы механики слоистых сред периодической структуры. – Киев: Наукова думка, 1981. – 200 с.
6. *Шульга М.О., Шульга Н.Д.* Дисперсія хвиль поперек структури шаруватих композитів з міжфазними недосконалостями //Деп. в ДНТБ України 13.02.1995 р. № 302 –Ук.95 (Донецкий ун-т. – Донецьк, 1994). – 34 с.

Надійшло до редакції 12.12.2006 р.